CENTRE UNIVERSITAIRE ABDELHAFID BOUSSOUF -MILA

Résistance des Matériaux 2

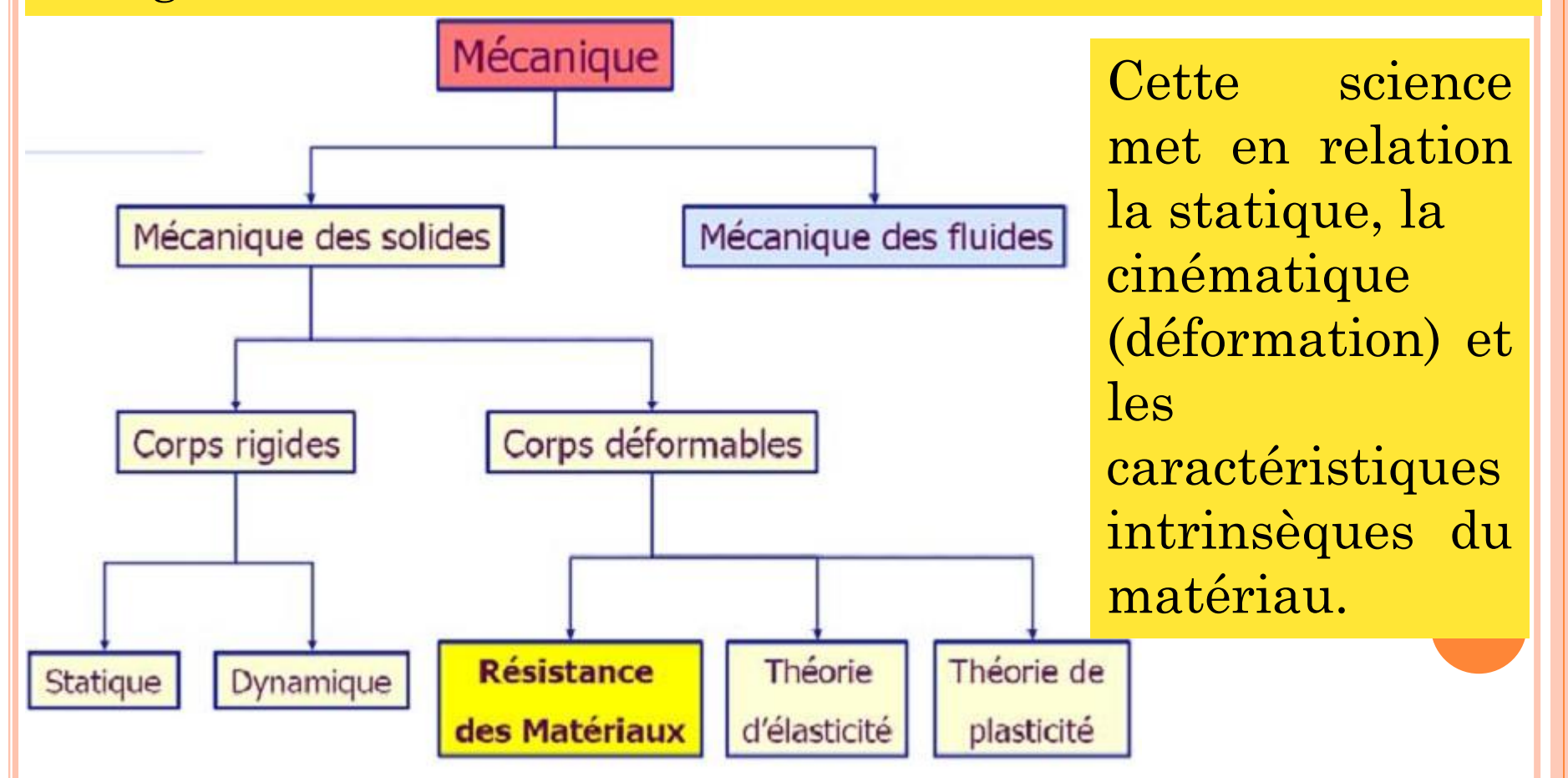
CHAPITRE 1:

FLEXION PLANE DES POUTRES SYMÉTRIQUES RAPPEL



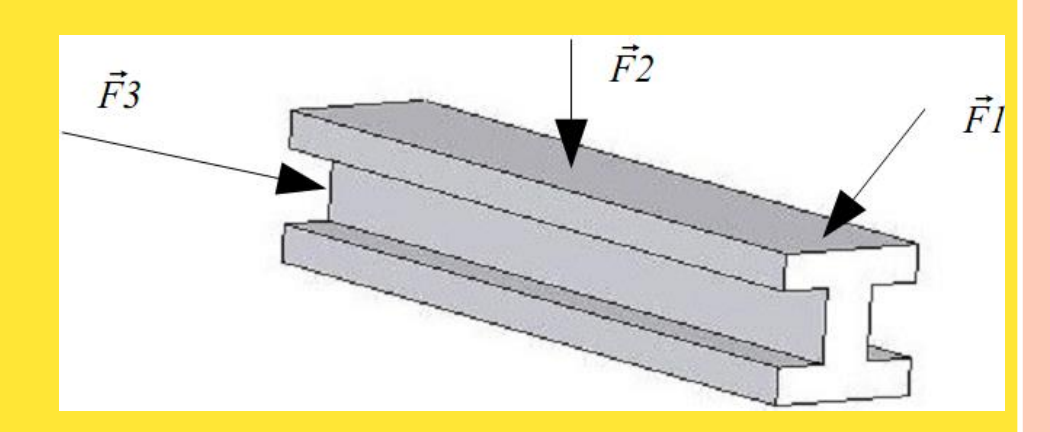
A quoi ça sert?

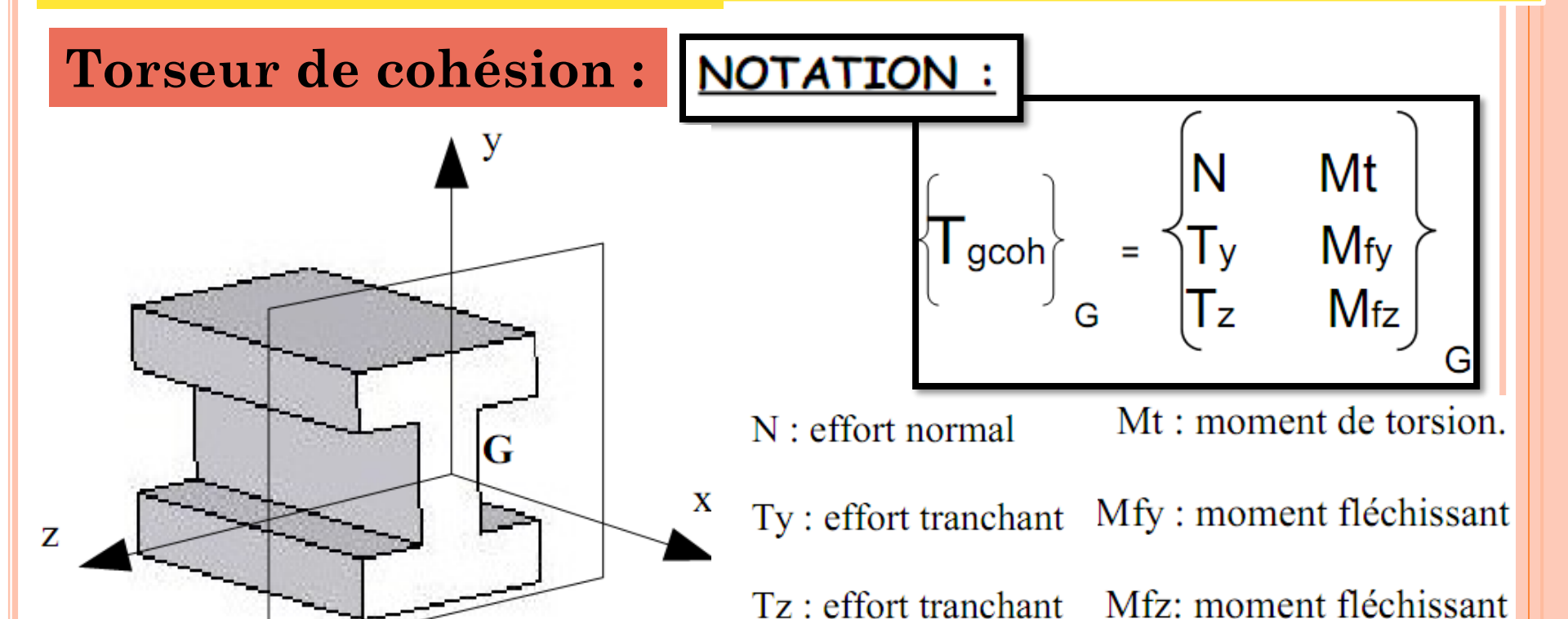
La Résistance Des Matériaux (RDM) permet de déterminer les formes, les dimensions et les matériaux de pièces mécaniques de façon à maîtriser leur résistance et leur déformation afin de répondre aux exigences du cahier des charges.



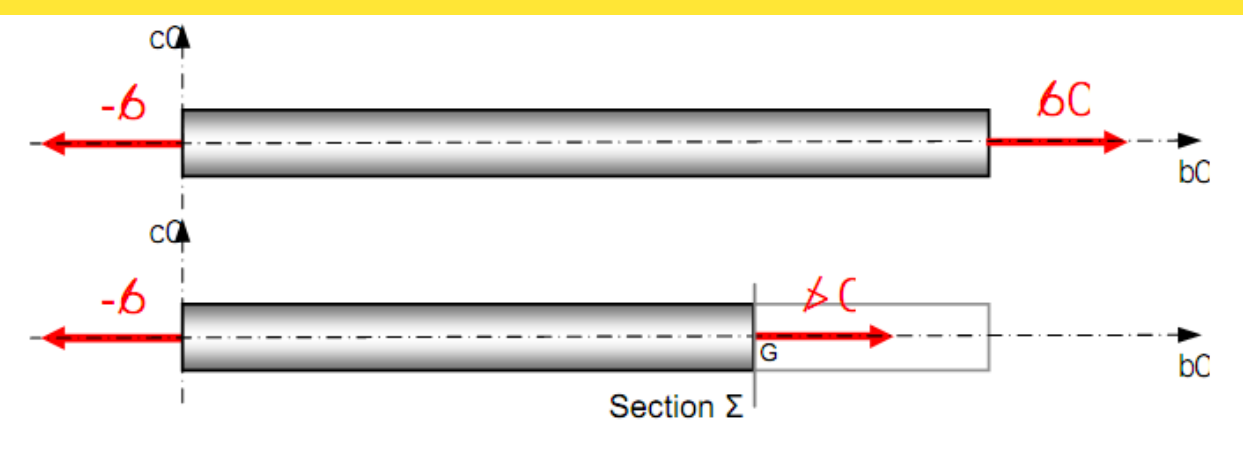
Notion de sollicitations:

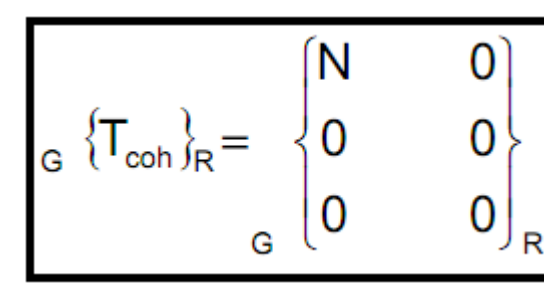
La poutre ci-dessous est soumise à des efforts extérieurs. La direction et le sens de ces efforts par rapport à la ligne moyenne définissent le type de sollicitation que subit la poutre.





1.1. Traction





<u>Contrainte normale</u> :

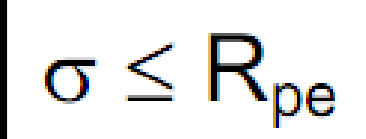
$$\sigma = \frac{N}{S}$$

σ : contrainte normale en Mpa ou en N/mm²

N: effort normal en N

S: aire de la section droite en mm²

Condition de résistance :



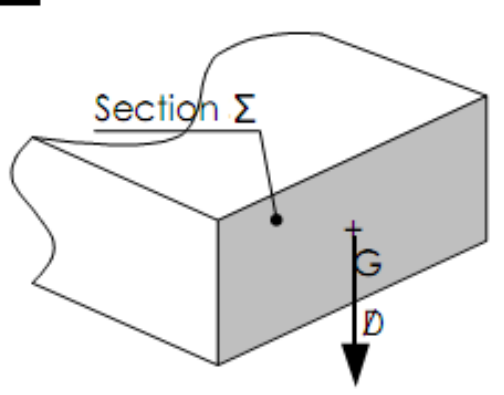
 R_{pe} la résistance pratique à l'extension $R_{pe} = \frac{R_e}{S}$

Re la résistance élastique du matériau (en Mpa)

s un coefficient de sécurité (s>1)

1.2. CISAILLEMENT

<u>Définition</u>:



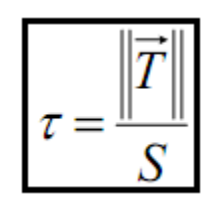
$$_{G} \left\{ T_{coh} \right\}_{R} = \begin{bmatrix} 0 & 0 \\ Ty & 0 \\ Tz & 0 \end{bmatrix}_{R}$$

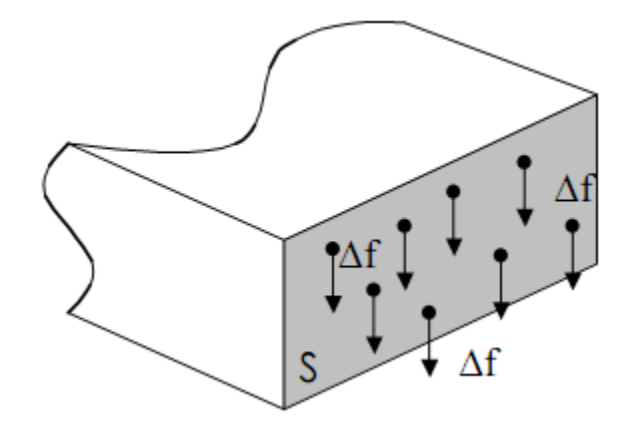
Dans nos problèmes, nous aurons souvent soit Ty=0 ou soit Tz=0.

Contrainte de cisaillement :

Condition de résistance :

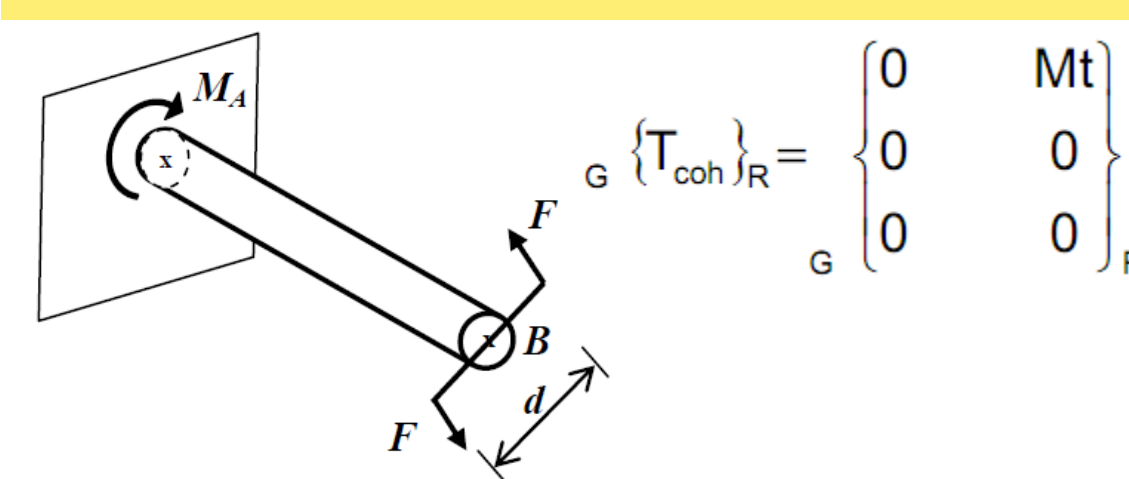
$$\tau \leq \tau_{adm} = R_{pg} = \frac{R_{eg}}{s}$$





- R_{pg} la résistance pratique au cisaillement
- Reg la résistance élastique au cisaillement du matériau (en Mpa);
- s un coefficient de sécurité;

1.3. Torsion



Contrainte tangentielle :

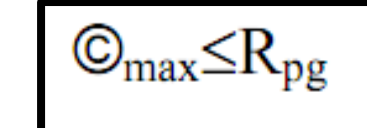
$$\tau = \frac{M_t \cdot \rho}{I_G}$$

 M_t : Moment de torsion en N.mm ρ : rayon GM en mm

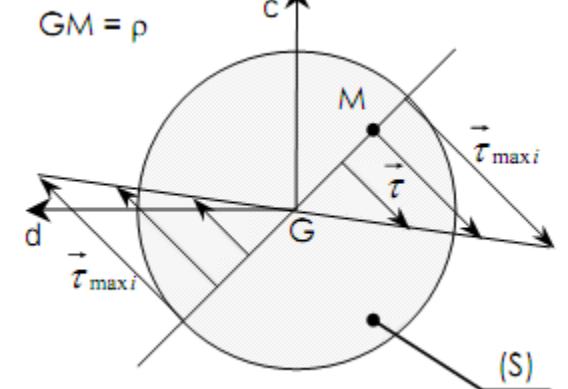
l_G : moment quadratique de la section Σ par rapport au

point G en mm⁴

Condition de résistance :

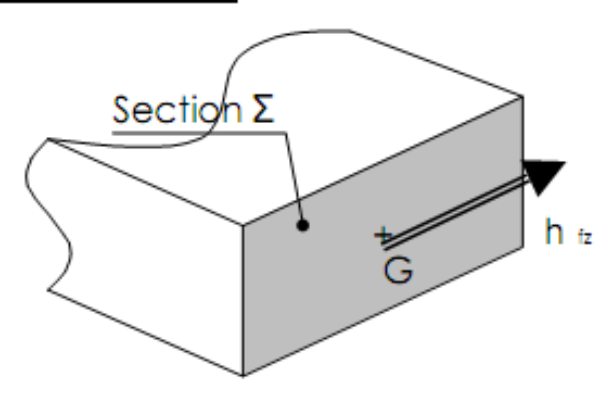


- R_{eg} la résistance élastique au cisaillement du matériau (en Mpa);
- s un coefficient de sécurité;
- \mathcal{F} R_{pg} la résistance pratique au cisaillement, avec $R_{pg} = \frac{K_{eg}}{R_{pg}}$;



1.4. Flexion pure

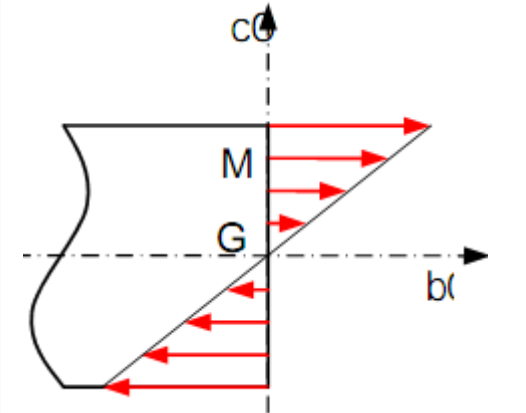
<u>Définition</u>:



$$_{G} \left\{ T_{coh} \right\}_{R} = \begin{cases} 0 & 0 \\ 0 & Mfy \\ 0 & Mfz \end{cases}_{R}$$

Dans nos problèmes nous aurons souvent Mfy ou Mfz nul

Contrainte normale:



σ : contrainte normale en Mpa

 $= \frac{M_{fz}}{I_{Gz}} \quad \begin{array}{l} \text{M}_{\text{fz}} : \text{Moment fléchissant en N.mm} \\ \text{y : ordonnée du point M en mm} \\ \text{I}_{\text{Gz}} : \text{moment quadratique de la section par rapport à} \end{array}$

l'axe (G, d) en mm⁴

<u>Condition de résistance :</u>

- $\sigma_{max} \leq R_{pe}$
- R_e la résistance élastique du matériau (en Mpa);
- s un coefficient de sécurité (s>1);
- ullet R_{pe} la résistance pratique à l'extension, avec R_{pe}

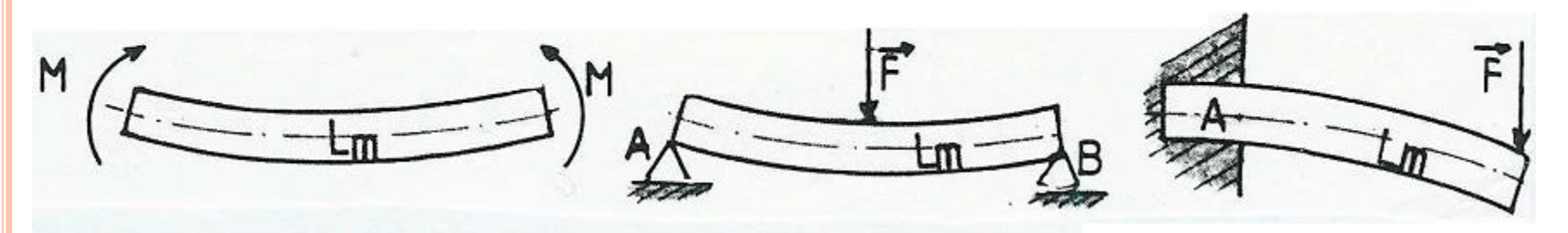
2. EFFORTS TRANCHANTS ET MOMENTS FLECHISSANT

Différents types de flexion:

Flexion pure

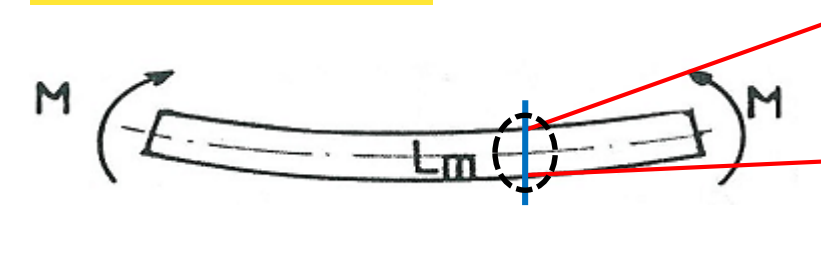
Flexion simple

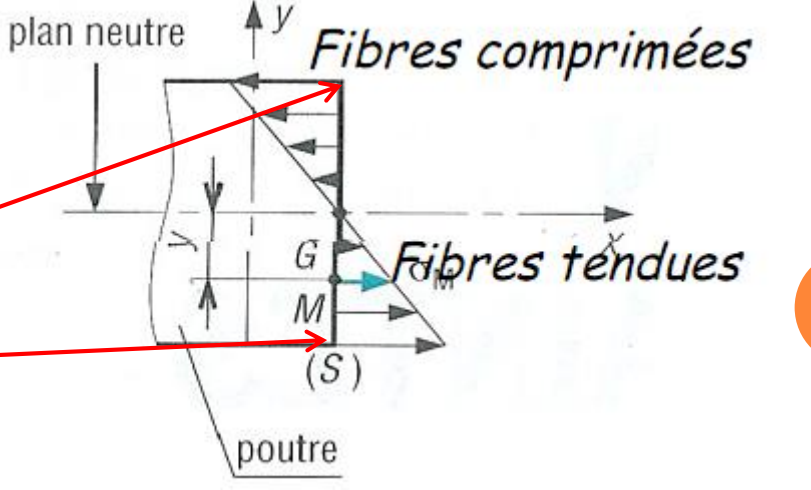
Flexion plane



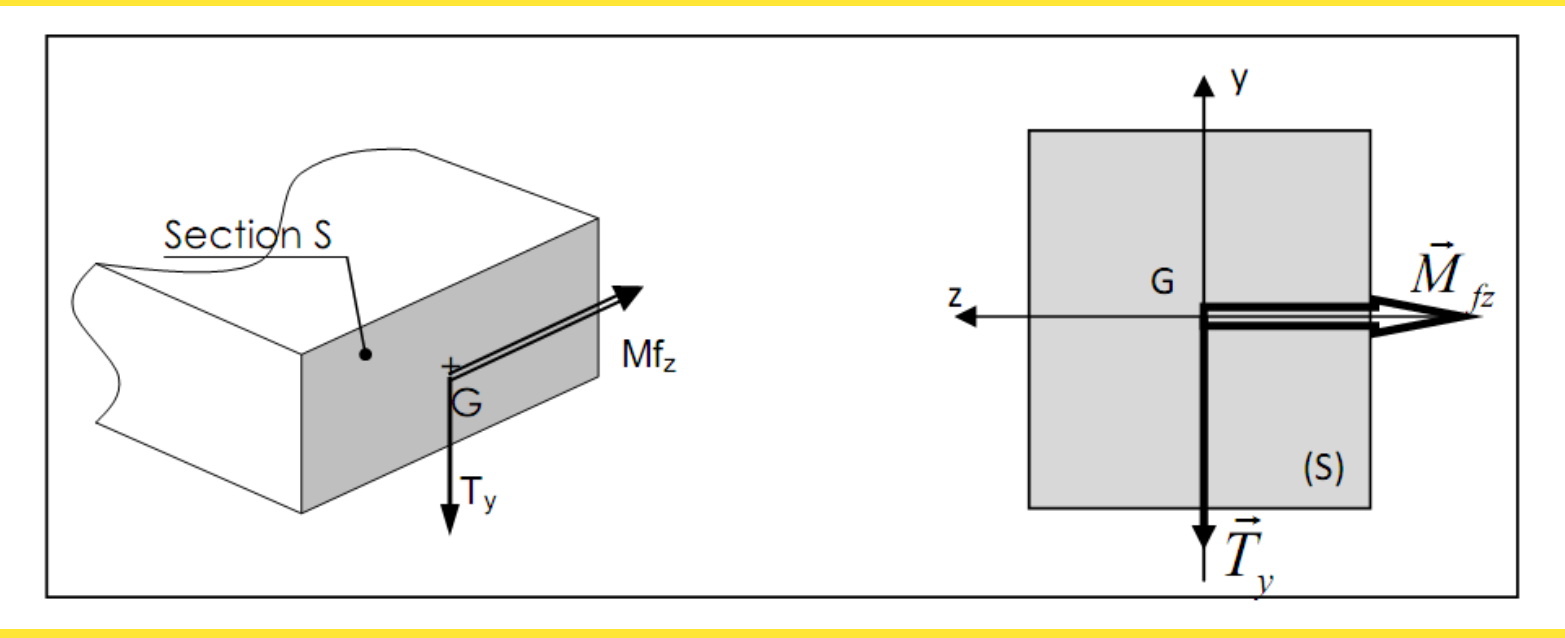
$$\left\{ T_{gcoh} \right\}_{G} = \left\{ \begin{matrix} 0 & 0 \\ 0 & 0 \\ 0 & M_{fz} \end{matrix} \right\}_{G} = \left\{ \begin{matrix} T_{gcoh} \\ T_{y} & 0 \\ 0 & M_{fz} \end{matrix} \right\}_{G} = \left\{ \begin{matrix} T_{gcoh} \\ T_{y} & 0 \\ 0 & M_{fz} \end{matrix} \right\}_{G} = \left\{ \begin{matrix} N & 0 \\ T_{y} & 0 \\ 0 & M_{fz} \end{matrix} \right\}_{G} = \left\{ \begin{matrix} N & 0 \\ T_{y} & 0 \\ 0 & M_{fz} \end{matrix} \right\}_{G} = \left\{ \begin{matrix} N & 0 \\ T_{y} & 0 \\ 0 & M_{fz} \end{matrix} \right\}_{G} = \left\{ \begin{matrix} N & 0 \\ T_{y} & 0 \\ 0 & M_{fz} \end{matrix} \right\}_{G} = \left\{ \begin{matrix} N & 0 \\ T_{y} & 0 \\ 0 & M_{fz} \end{matrix} \right\}_{G} = \left\{ \begin{matrix} N & 0 \\ T_{y} & 0 \\ 0 & M_{fz} \end{matrix} \right\}_{G} = \left\{ \begin{matrix} N & 0 \\ N & 0 \\ 0 & M_{fz} \end{matrix} \right\}_{G} = \left\{ \begin{matrix} N & 0 \\ N & 0 \\ N & N_{fz} \end{matrix} \right\}_{G} = \left\{ \begin{matrix} N & 0 \\ N & N_{fz} \end{matrix} \right\}_{G} = \left\{ \begin{matrix} N & 0 \\ N & N_{fz} \end{matrix} \right\}_{G} = \left\{ \begin{matrix} N & 0 \\ N & N_{fz} \end{matrix} \right\}_{G} = \left\{ \begin{matrix} N & 0 \\ N & N_{fz} \end{matrix} \right\}_{G} = \left\{ \begin{matrix} N & 0 \\ N & N_{fz} \end{matrix} \right\}_{G} = \left\{ \begin{matrix} N & 0 \\ N & N_{fz} \end{matrix} \right\}_{G} = \left\{ \begin{matrix} N & 0 \\ N & N_{fz} \end{matrix} \right\}_{G} = \left\{ \begin{matrix} N & 0 \\ N & N_{fz} \end{matrix} \right\}_{G} = \left\{ \begin{matrix} N & 0 \\ N & N_{fz} \end{matrix} \right\}_{G} = \left\{ \begin{matrix} N & 0 \\ N & N_{fz} \end{matrix} \right\}_{G} = \left\{ \begin{matrix} N & 0 \\ N & N_{fz} \end{matrix} \right\}_{G} = \left\{ \begin{matrix} N & 0 \\ N & N_{fz} \end{matrix} \right\}_{G} = \left\{ \begin{matrix} N & 0 \\ N & N_{fz} \end{matrix} \right\}_{G} = \left\{ \begin{matrix} N & 0 \\ N & N_{fz} \end{matrix} \right\}_{G} = \left\{ \begin{matrix} N & 0 \\ N & N_{fz} \end{matrix} \right\}_{G} = \left\{ \begin{matrix} N & 0 \\ N & N_{fz} \end{matrix} \right\}_{G} = \left\{ \begin{matrix} N & 0 \\ N & N_{fz} \end{matrix} \right\}_{G} = \left\{ \begin{matrix} N & 0 \\ N & N_{fz} \end{matrix} \right\}_{G} = \left\{ \begin{matrix} N & 0 \\ N & N_{fz} \end{matrix} \right\}_{G} = \left\{ \begin{matrix} N & 0 \\ N & N_{fz} \end{matrix} \right\}_{G} = \left\{ \begin{matrix} N & 0 \\ N & N_{fz} \end{matrix} \right\}_{G} = \left\{ \begin{matrix} N & 0 \\ N & N_{fz} \end{matrix} \right\}_{G} = \left\{ \begin{matrix} N & 0 \\ N & N_{fz} \end{matrix} \right\}_{G} = \left\{ \begin{matrix} N & 0 \\ N & N_{fz} \end{matrix} \right\}_{G} = \left\{ \begin{matrix} N & 0 \\ N & N_{fz} \end{matrix} \right\}_{G} = \left\{ \begin{matrix} N & 0 \\ N & N_{fz} \end{matrix} \right\}_{G} = \left\{ \begin{matrix} N & 0 \\ N & N_{fz} \end{matrix} \right\}_{G} = \left\{ \begin{matrix} N & 0 \\ N & N_{fz} \end{matrix} \right\}_{G} = \left\{ \begin{matrix} N & 0 \\ N & N_{fz} \end{matrix} \right\}_{G} = \left\{ \begin{matrix} N & 0 \\ N & N_{fz} \end{matrix} \right\}_{G} = \left\{ \begin{matrix} N & 0 \\ N & N_{fz} \end{matrix} \right\}_{G} = \left\{ \begin{matrix} N & 0 \\ N & N_{fz} \end{matrix} \right\}_{G} = \left\{ \begin{matrix} N & 0 \\ N & N_{fz} \end{matrix} \right\}_{G} = \left\{ \begin{matrix} N & 0 \\ N & N_{fz} \end{matrix} \right\}_{G} = \left\{ \begin{matrix} N & 0 \\ N & N_{fz} \end{matrix} \right\}_{G} = \left\{ \begin{matrix} N & 0 \\ N & N_{fz} \end{matrix} \right\}_{G} = \left\{ \begin{matrix} N & 0 \\ N & N_{fz} \end{matrix} \right\}_{G} = \left\{ \begin{matrix} N & 0 \\ N & N_{fz} \end{matrix} \right\}_{G} = \left\{ \begin{matrix} N & 0 \\ N & N_{fz} \end{matrix} \right\}_{G} = \left\{ \begin{matrix} N & 0 \\ N & N_{fz} \end{matrix} \right\}_{G} = \left\{ \begin{matrix} N & 0 \\ N & N_{fz} \end{matrix} \right\}_{G} = \left\{ \begin{matrix} N & 0 \\ N & N_{fz} \end{matrix} \right\}_{G} = \left\{ \begin{matrix} N & 0 \\ N & N_{fz} \end{matrix} \right\}_{G} = \left\{ \begin{matrix} N$$







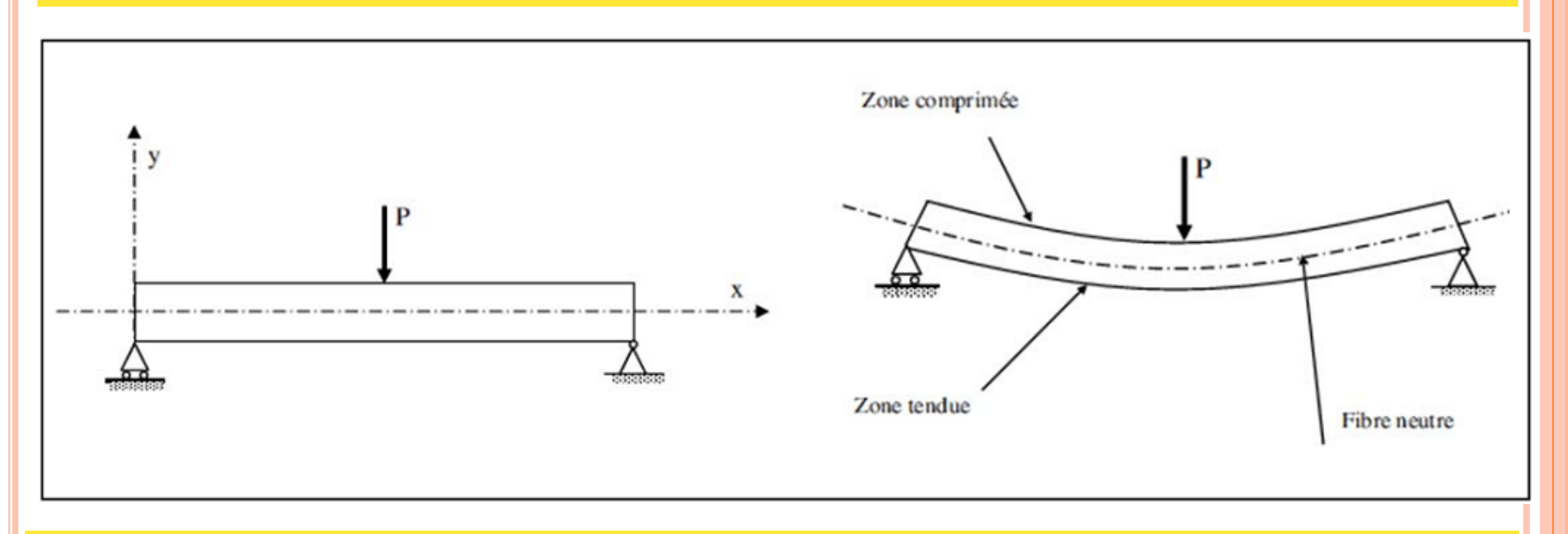
2.1.Flexion simple



Le torseur associé aux efforts de cohésion peut se réduire en G, barycentre de la section droite S, à une résultante contenue dans le plan de la section et à un moment perpendiculaire à cette dernière

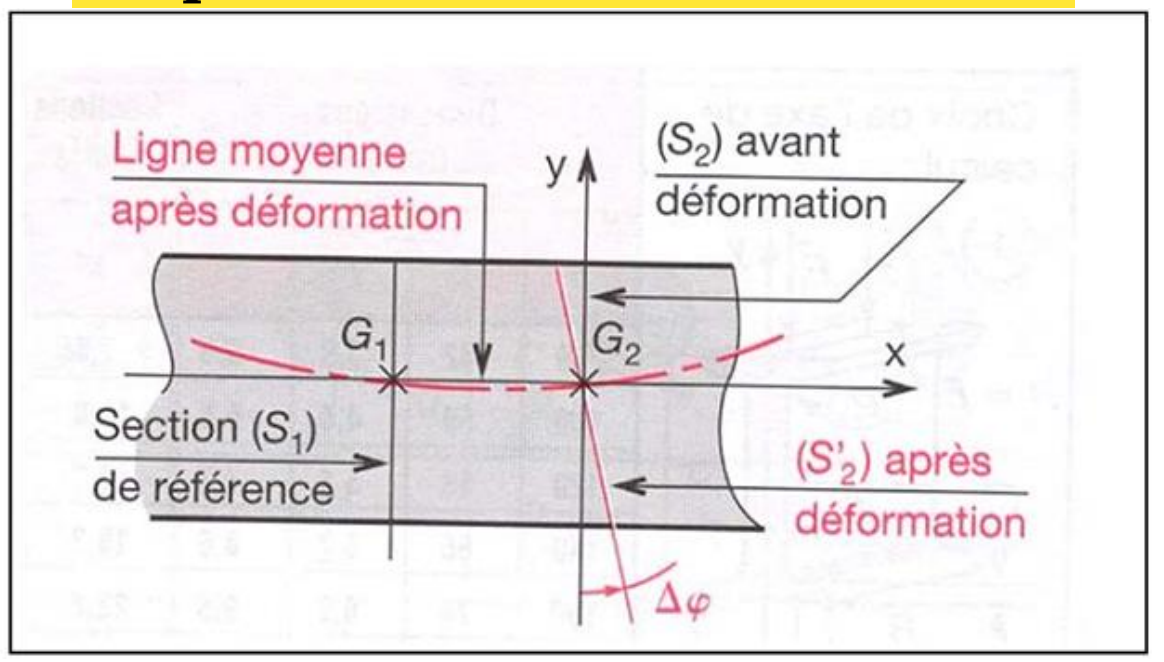
$$\left\{ \tau_{coh} \right\}_{G} = \left\{ \begin{array}{cc} 0 & 0 \\ T_{y} & 0 \\ 0 & Mf_{z} \end{array} \right\}_{G}$$

Considérons une poutre reposant sur deux appuis soumise à une charge concentrée verticale. Après déformation, cette poutre fléchit : On constate que les fibres situées dans la partie supérieure sont sollicitées en compression tandis que celles situées en partie inférieure sont sollicitées en traction



Entre ces deux régions il existe une fibre qui reste ni tendue ni comprimée : la fibre neutre. Les allongements ou raccourcissements relatifs sont proportionnels à la distance y de la fibre considérée.

Répartition des contraintes:



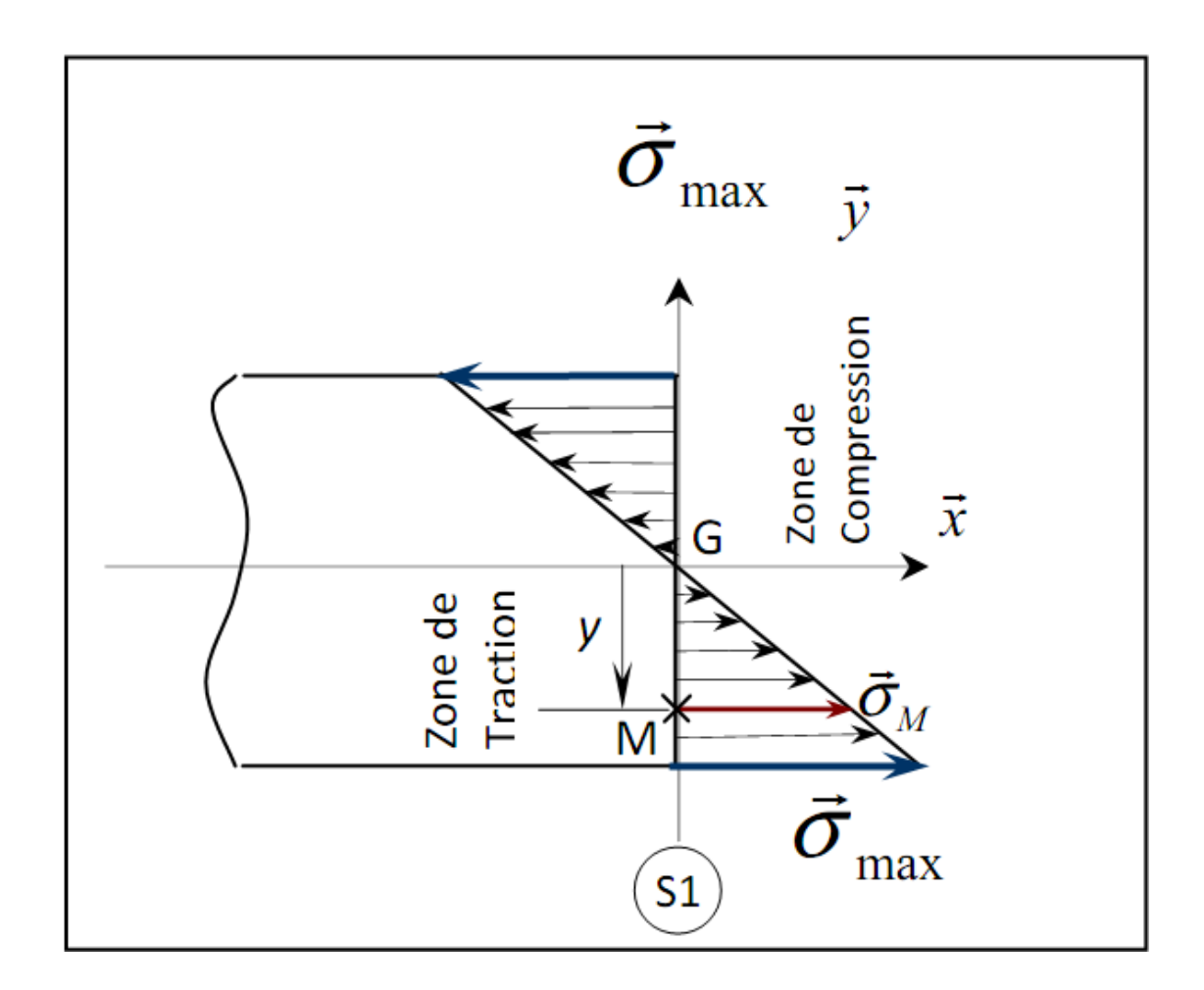
Lorsque la poutre fléchit, la section droite pivote d'un angle $\Delta \varphi$. Les contraintes normales engendrées sont proportionnelles à la distance qui les sépare du plan des fibres moyennes, d'où : $\sigma_M = -E\theta y$

E: Module, d'Young [MPa]

Y: distance de M par raport à la fibre neutre [mm].

Θ: Angle unitaire de flexion [rad/mm]

$$\theta = \frac{\Delta \varphi}{\Delta x}$$



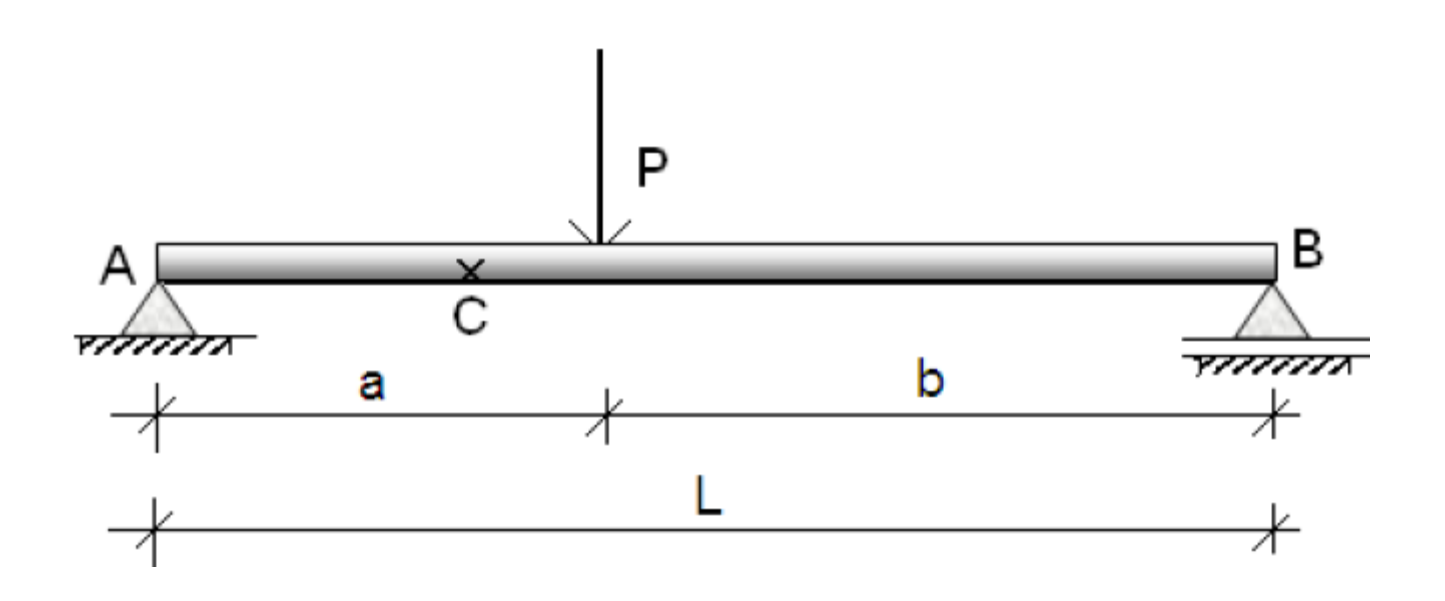
$$\sigma_{x} = -\frac{M_{fz}}{I_{GZ}} y$$

$$\left|\sigma_{x}\right|_{\max} = \frac{M_{fz}}{I_{GZ}} \left|y\right|_{\max}$$

Répartition des contraintes dans une section droite

Exemple:

Exprimer et tracer la variation de l'effort tranchant et le moment fléchissant le long de la poutre schématisée par la figure ci-dessous



$1^{e^{re}}$ partie: $0 \le x \le a$

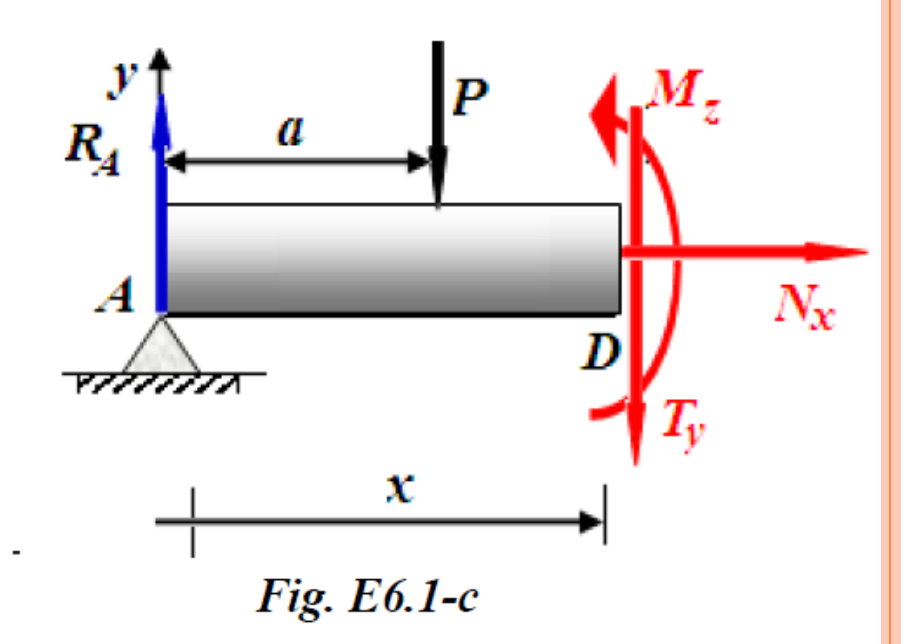
R_A R_A

Fig. E6.1-b

•
$$\Sigma F_x = 0 \Rightarrow N = 0$$

•
$$\Sigma F_y = 0 \Rightarrow T_Y = Pb/L$$

<u> $2\dot{e}me\ partie: a \leq x \leq L$ </u>



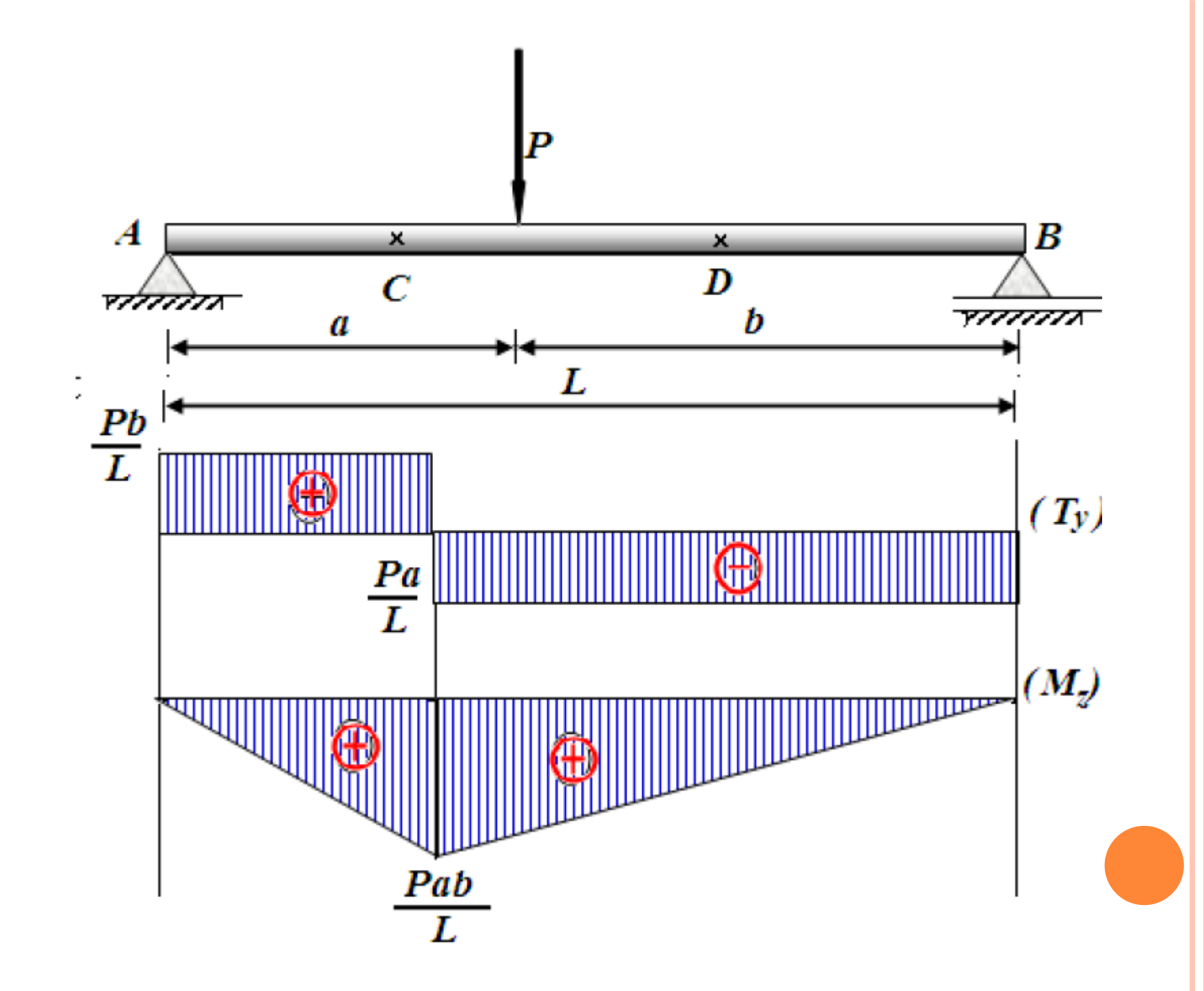
•
$$\Sigma F_x = 0 \Rightarrow N = 0$$

•
$$\Sigma F_y = 0 \Rightarrow T_Y = -Pa/L$$

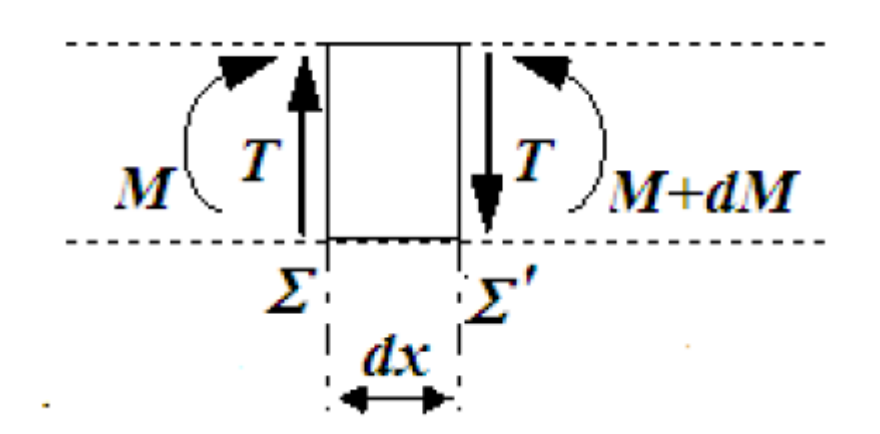
$$\sum M/_C = 0 \Rightarrow M_Z = (Pa/L) \cdot (L-x)$$

$$M_Z(x=a) = Pab/L$$

$$M_Z(x=L) = 0$$

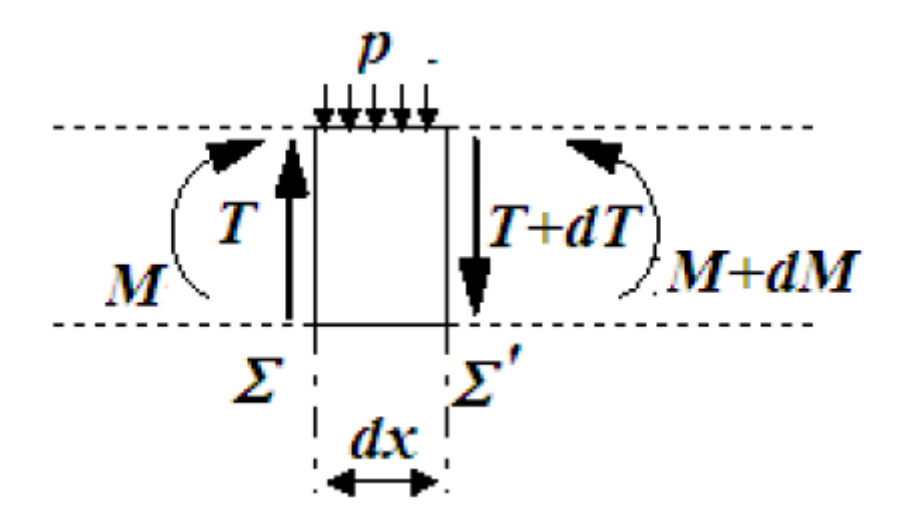


Relation entre moment fléchissant et effort tranchant



$$\frac{dM}{dx} = T$$

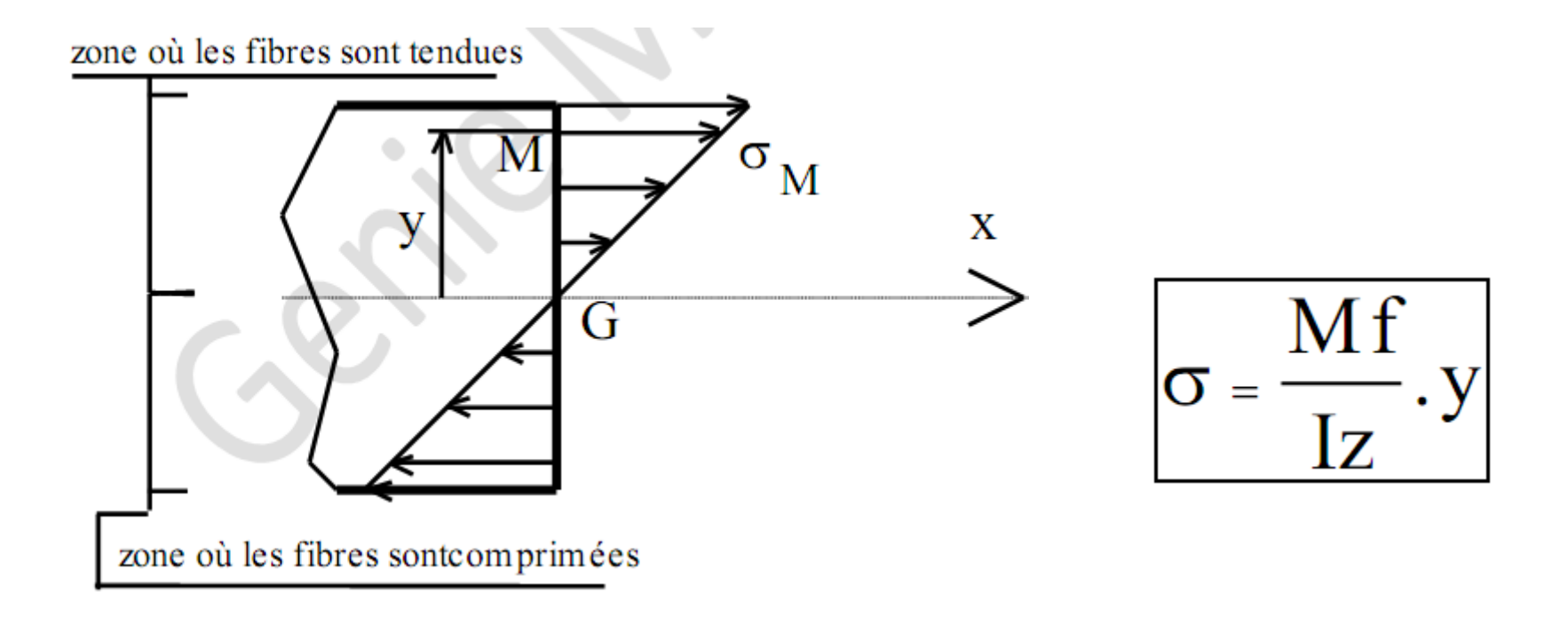
Relation entre effort tranchant et chargement réparti



$$\frac{dT}{dx} = -p$$

3. La contrainte normale en flexion simple

La contrainte normale s en un point M d'une section droite (s) est proportionnelle à la distance y entre ce point et le plan moyen passant par G.



Conditions de résistance

Pour des raisons de sécurité, la contrainte normale σ doit rester inférieure à une valeur limite appelée contrainte pratique à l'extension σ_{pe}

 $\sigma_{pe} = rac{\sigma_e}{S}$

s est un coefficient de sécurité

La condition de résistance traduit simplement le fait que la contrainte réelle ne doit pas dépasser le seuil précédent, soit :

$$\sigma_{r\acute{e}elle} = rac{Mf_{\max i}}{\left(rac{I_{Gz}}{y_{\max i}}
ight)} < \sigma_{pe}$$

Contrainte tangentielle en flexion simple

Dans une poutre sollicitée en flexion plane simple les contraintes tangentielles s'expriment de la façon suivante:

$$\tau = \frac{T_{y}W_{Gz}}{zI_{Gz}}$$

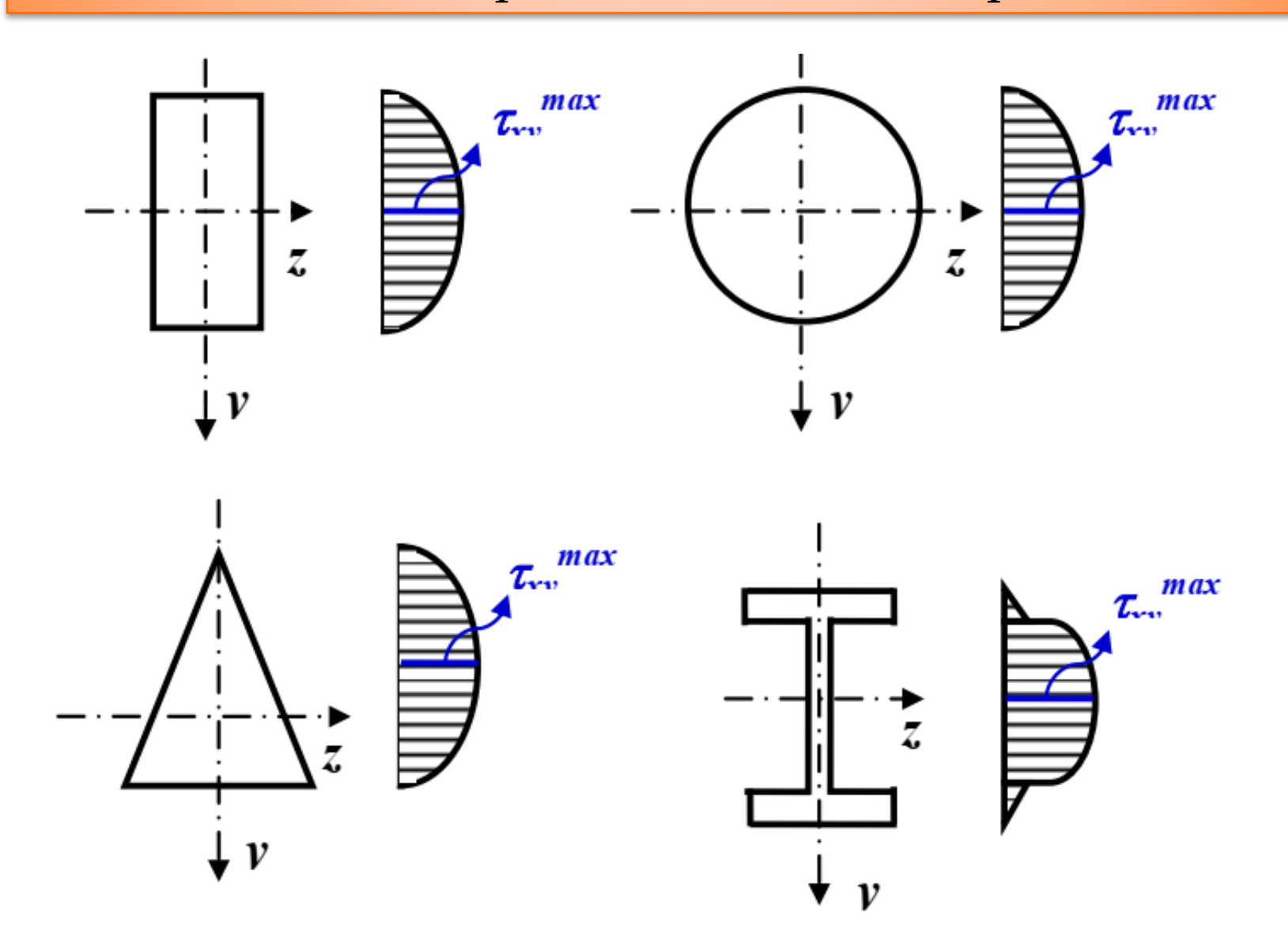
où W(G, z) est le moment statique de la poutre par rapport à l'axe (G, z)

$$\tau_{\text{max}} = \frac{T_{\text{y}} W_{\text{Gz}}}{z_{\text{max}} I_{\text{Gz}}}$$

Conditions de résistance

$$\tau_{\text{max}} \le R_{pg} \quad \Leftrightarrow \quad \frac{T_{y} W_{Gz}}{Z_{\text{max}} I_{Gz}} \le \frac{R_{eg}}{s}$$

Exemples de distribution des contraintes tangentielles dans une section de poutre en flexion simple.

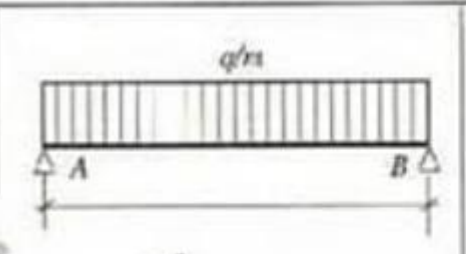


Poutres sur deux appuis simples

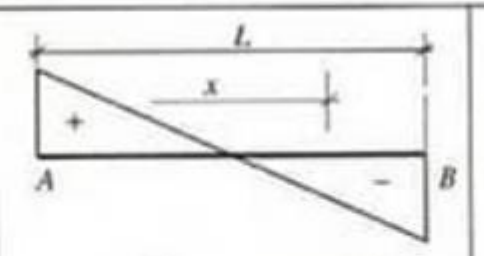
Cas de charge

Effort tranchant

Moment de flexion

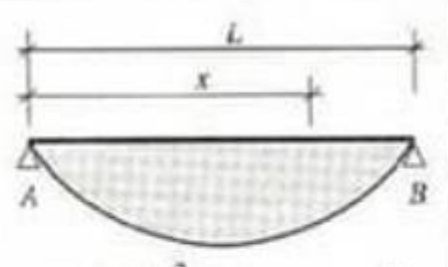


$$R_A = \frac{qL}{2}$$
 $R_B = R_A$
Charge uniformément



$$V_A = \frac{qL}{2} \qquad V_B = \frac{qL}{2}$$

$$V(x) = \frac{qL^2}{2} - qx$$

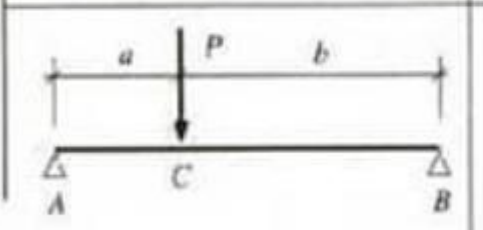


$$R_A = \frac{qL}{2} \qquad R_B = R_A$$
Charge uniformement répartie
$$V_A = \frac{qL}{2} \qquad V_B = \frac{qL}{2}$$

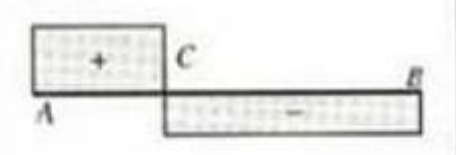
$$V_A = \frac{qL}{2} \qquad V_B = \frac{qL}{2}$$

$$V(x) = \frac{qL^2}{2} - qx$$

$$M(x) = \frac{qx}{2}(L-x)$$



$$R_A = \frac{P \cdot b}{L} \qquad R_B = \frac{P \cdot a}{L}$$
Charge concentrée P



$$R_A = \frac{P \cdot b}{L} \qquad R_B = \frac{P \cdot a}{L} \qquad V_{\overline{AC}} = R_A \qquad V_{\overline{CB}} = -R_B$$

$$V_{\overline{AC}} \text{ signifie } V \text{ entre } A \text{ et } C$$

$$V_{\overline{CB}} \text{ signifie } V \text{ entre } C \text{ et } B$$

$$V_{\overline{CB}} \text{ signifie } V \text{ entre } C \text{ et } B$$



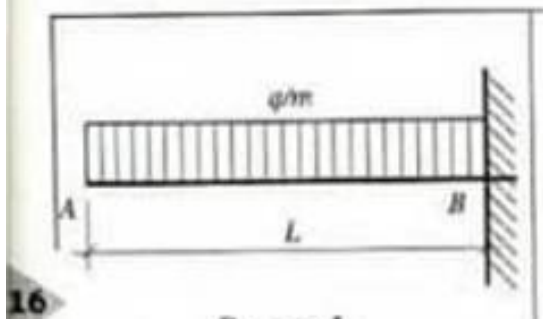
$$M_0 = \frac{P \cdot a \cdot b}{L} \text{ pour } x_0 = a$$

Poutres en console

Cas de charge

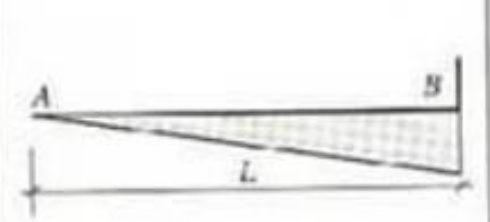
Effort tranchant

Moment de flexion



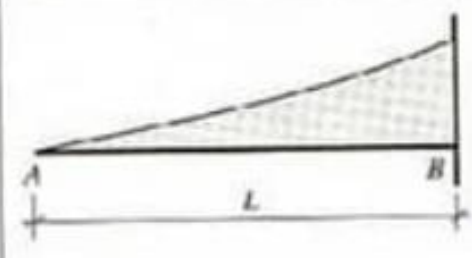
$$R_D = qI$$
.

Charge uniformément répartie

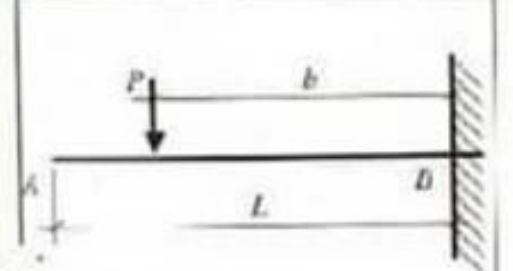


$$V_B = -qL$$

$$V(x) = -px$$

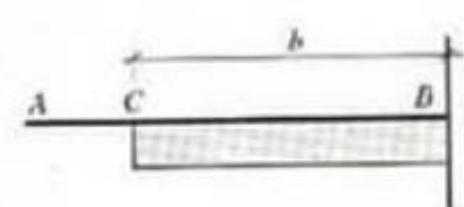


$$M_B = -\frac{qL^2}{2} \quad M(x) = -\frac{q^2}{2}$$

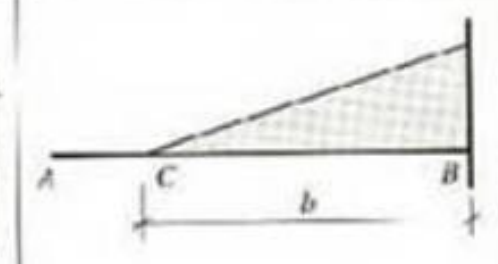


$$R_B = P$$

Charge concentrée



$$V_A = 0 \qquad V_{\widehat{CB}} = -P$$



$$M_B = -Pb$$